



また、 $J_n(\rho)$  と  $Y_n(\rho)$  はそれぞれ第1種、第2種の  $n$  次のベッセル関数であり、 $\beta_m$  は次式を満足する  $\beta$  の第  $m$  番めの正根である。

$$\beta u_1(\beta) + \gamma_1 u_0(\beta) = 0 \quad \dots \dots \dots \quad (8)$$

$\mu_j$  は次式を満足する  $\mu$  の第  $j$  番めの正根である。

$$\mu \sin \mu \zeta_1 - \gamma_3 \cos \mu \zeta_1 = 0 \quad \dots \dots \dots \quad (9)$$

### 3. 応力解析

半径方向変位を  $u$ 、軸方向変位を  $w$  とすれば、温度変化を考慮した変位のつりあい方程式は

$$\left. \begin{aligned} \nabla^2 u - \frac{u}{r^2} + \frac{1}{1-2\nu} \frac{\partial e}{\partial r} &= 2 \frac{1+\nu}{1-2\nu} \alpha_t \frac{\partial T}{\partial r} \\ \nabla^2 w + \frac{1}{1-2\nu} \frac{\partial e}{\partial z} &= 2 \frac{1+\nu}{1-2\nu} \alpha_t \frac{\partial T}{\partial z} \end{aligned} \right\} \quad \dots \dots \dots \quad (10)$$

ここで、

$$e = \frac{\partial u}{\partial r} + \frac{u}{r} + \frac{\partial w}{\partial z}$$

$\alpha_t$  は線膨張係数、 $\nu$  はポアソン比である。式(10)を解くために、次式で定義される熱弾性変位ポテンシャル  $\Phi$  と、Loveの変位関数  $L$  を導入する。

$$\left. \begin{aligned} u &= \frac{\partial \Phi}{\partial r} - \frac{1}{2G} \frac{\partial^2 L}{\partial r \partial z} \\ w &= \frac{\partial \Phi}{\partial z} + \frac{1}{2G} \left\{ 2(1-\nu) \nabla^2 L - \frac{\partial^2 L}{\partial z^2} \right\} \end{aligned} \right\} \quad \dots \dots \dots \quad (11)$$

ここで、 $G$  は横弾性係数である。 $\Phi$  と  $L$  はそれぞれ次式を満足しなければならない。

$$\nabla^2 \Phi = \frac{1+\nu}{1-\nu} \alpha_t T \quad \dots \dots \dots \quad (12)$$

$$\nabla^2 \nabla^2 L = 0 \quad \dots \dots \dots \quad (13)$$

各応力成分は  $\Phi$  と  $L$  を用いて次式で表される。

$$\left. \begin{aligned} \sigma_{rr} &= 2G \left( \frac{\partial^2 \Phi}{\partial r^2} - \nabla^2 \Phi \right) + \frac{\partial}{\partial z} \left( \nu \nabla^2 L - \frac{\partial^2 L}{\partial r^2} \right), & \sigma_{\theta\theta} &= 2G \left( \frac{1}{r} \frac{\partial \Phi}{\partial r} - \nabla^2 \Phi \right) + \frac{\partial}{\partial z} \left( \nu \nabla^2 L - \frac{1}{r} \frac{\partial L}{\partial r} \right) \\ \sigma_{zz} &= 2G \left( \frac{\partial^2 \Phi}{\partial z^2} - \nabla^2 \Phi \right) + \frac{\partial}{\partial z} \left\{ (2-\nu) \nabla^2 L - \frac{\partial^2 L}{\partial z^2} \right\}, & \sigma_{rz} &= 2G \frac{\partial^2 \Phi}{\partial r \partial z} + \frac{\partial}{\partial r} \left\{ (1-\nu) \nabla^2 L - \frac{\partial^2 L}{\partial z^2} \right\} \end{aligned} \right\} \quad \dots \dots \dots \quad (14)$$

式(12)の特解は式(7)を考慮して

$$\frac{\Phi}{a^2} = -K \sum_{j=1}^{\infty} \sum_{m=1}^{\infty} \frac{A_{jm}}{\mu_j^2 + \beta_m^2} u_0(\beta_m \rho) \cos \mu_j \zeta e^{-(\mu_j^2 + \beta_m^2) \tau} \quad \dots \dots \dots \quad (15)$$

となる。ここで、 $K = (1+\nu)/(1-\nu) \alpha_t T_0$ 。式(13)を満足する一般解として、本問題に適する項を採用すると

$$\begin{aligned} \frac{L}{a^3} &= A_0 \frac{\zeta^3}{6} + B_0 \zeta \ln \rho + C_0 \frac{\zeta \rho^2}{2} + \sum_{n=1}^{\infty} \frac{1}{k_n^3} (A_n' I_0(k_n \rho) + B_n' k_n \rho I_1(k_n \rho) + A_n'' K_0(k_n \rho) \\ &\quad + B_n'' k_n \rho K_1(k_n \rho)) \sin k_n \zeta + \sum_{s=1}^{\infty} \frac{1}{\lambda_s^3} (C_s' \sinh \lambda_s \zeta + D_s' \lambda_s \zeta \cosh \lambda_s \zeta) C_0(\lambda_s \rho) \\ &\quad + \sum_{j=1}^{\infty} \frac{1}{\mu_j^3} (E_j' I_0(\mu_j \rho) + F_j' \mu_j \rho I_1(\mu_j \rho) + E_j'' K_0(\mu_j \rho) + F_j'' \mu_j \rho K_1(\mu_j \rho)) \sin \mu_j \zeta \end{aligned} \quad \dots \dots \dots \quad (16)$$

ただし、

$$C_n(\lambda_s \rho) = J_n(\lambda_s \rho) - \frac{J_1(\lambda_s \rho)}{Y_1(\lambda_s \rho)} Y_n(\lambda_s \rho)$$

ここで、 $k_n = n\pi/\zeta_1$ 、 $I_n(\rho)$ 、 $K_n(\rho)$  はそれぞれ第1種、第2種の  $n$  次の変形ベッセル関数であり、 $\lambda_s$  は次式を満足する  $\lambda$  の第  $s$  番めの正根である。

$$C_1(\lambda) = 0$$

次に式(15)と(16)を式(14)に代入すると、各応力成分は次式で与えられる。

$$\begin{aligned} \sigma_{rr} &= A_0 \nu + \frac{B_0}{\rho^2} + C_0(2\nu - 1) + \sum_{n=1}^{\infty} \left[ A_n' \left\{ -I_0(k_n \rho) + \frac{I_1(k_n \rho)}{k_n \rho} \right\} - B_n' ((1-2\nu) I_0(k_n \rho) + k_n \rho I_1(k_n \rho)) \right. \\ &\quad \left. - A_n'' \left\{ K_0(k_n \rho) + \frac{K_1(k_n \rho)}{k_n \rho} \right\} + B_n'' ((1-2\nu) K_0(k_n \rho) - k_n \rho K_1(k_n \rho)) \right] \cos k_n \zeta \\ &\quad + \sum_{s=1}^{\infty} \left[ C_0(\lambda_s \rho) [C_s' \cosh \lambda_s \zeta + D_s' ((1+2\nu) \cosh \lambda_s \zeta + \lambda_s \zeta \sinh \lambda_s \zeta)] - \frac{C_1(\lambda_s \rho)}{\lambda_s \rho} (C_s' \cosh \lambda_s \zeta \right. \\ &\quad \left. + D_s' (\cosh \lambda_s \zeta + \lambda_s \zeta \sinh \lambda_s \zeta)) \right] + \sum_{j=1}^{\infty} \left[ E_j' \left\{ -I_0(\mu_j \rho) + \frac{I_1(\mu_j \rho)}{\mu_j \rho} \right\} - F_j' ((1-2\nu) I_0(\mu_j \rho) \right. \\ &\quad \left. + \mu_j \rho I_1(\mu_j \rho)) - E_j'' \left\{ K_0(\mu_j \rho) + \frac{K_1(\mu_j \rho)}{\mu_j \rho} \right\} + F_j'' ((1-2\nu) K_0(\mu_j \rho) - \mu_j \rho K_1(\mu_j \rho)) \right] \cos \mu_j \zeta \\ &\quad - 2GK \sum_{j=1}^{\infty} \sum_{m=1}^{\infty} \frac{A_{jm}}{\mu_j^2 + \beta_m^2} \left\{ \mu_j^2 u_0(\beta_m \rho) + \frac{\beta_m u_1(\beta_m \rho)}{\rho} \right\} \cos \mu_j \zeta e^{-(\mu_j^2 + \beta_m^2) \tau} \end{aligned} \quad \dots \dots \dots \quad (17)$$

$$\begin{aligned}\sigma_{\theta\theta} = & A_0 \nu - \frac{B_0}{\rho^2} + (2\nu - 1) C_0 + \sum_{n=1}^{\infty} \left\{ -A_n' \frac{I_1(k_n \rho)}{k_n \rho} - B_n' (1-2\nu) I_0(k_n \rho) + A_n'' \frac{K_1(k_n \rho)}{k_n \rho} \right. \\ & \left. + B_n'' (1-2\nu) K_0(k_n \rho) \right\} \cos k_n \zeta + \sum_{s=1}^{\infty} \left[ C_s(\lambda_s \rho) D_s' 2\nu \cosh \lambda_s \zeta \right. \\ & \left. + \frac{C_1(\lambda_s \rho)}{\lambda_s \rho} \{ C_s' \cosh \lambda_s \zeta + D_s' (\cosh \lambda_s \zeta + \lambda_s \zeta \sinh \lambda_s \zeta) \} \right] + \sum_{j=1}^{\infty} \left\{ -E_j' \frac{I_1(\mu_j \rho)}{\mu_j \rho} \right. \\ & \left. - F_j' (1-2\nu) I_0(\mu_j \rho) + E_j'' \frac{K_1(\mu_j \rho)}{\mu_j \rho} + F_j'' (1-2\nu) K_0(\mu_j \rho) \right\} \cos \mu_j \zeta \\ & + 2GK \sum_{j=1}^{\infty} \sum_{m=1}^{\infty} A_{jm} \left\{ \frac{\beta_m u_1(\beta_m \rho)}{(\mu_j^2 + \beta_m^2) \rho} - u_0(\beta_m \rho) \right\} \cos \mu_j \zeta e^{-(\mu_j^2 + \beta_m^2) \tau} \quad \dots \dots \dots (18)\end{aligned}$$

$$\begin{aligned}\sigma_{zz} = & (1-\nu) A_0 + 2(2-\nu) C_0 + \sum_{n=1}^{\infty} [A_n' I_0(k_n \rho) + B_n' \{2(2-\nu) I_0(k_n \rho) + k_n \rho I_1(k_n \rho)\}] \\ & + A_n'' K_0(k_n \rho) - B_n'' \{2(2-\nu) K_0(k_n \rho) - k_n \rho K_1(k_n \rho)\}] \cos k_n \zeta + \sum_{s=1}^{\infty} C_s(\lambda_s \rho) \\ & \times [-C_s' \cosh \lambda_s \zeta + D_s' \{(1-2\nu) \cosh \lambda_s \zeta - \lambda_s \zeta \sinh \lambda_s \zeta\}] + \sum_{j=1}^{\infty} [E_j' I_0(\mu_j \rho) \\ & + F_j' \{2(2-\nu) I_0(\mu_j \rho) + \mu_j \rho I_1(\mu_j \rho)\} + E_j'' K_0(\mu_j \rho) - F_j'' \{2(2-\nu) K_0(\mu_j \rho) \\ & - \mu_j \rho K_1(\mu_j \rho)\}] \cos \mu_j \zeta - 2GK \sum_{j=1}^{\infty} \sum_{m=1}^{\infty} \frac{A_{jm} \beta_m^2}{\mu_j^2 + \beta_m^2} u_0(\beta_m \rho) \cos \mu_j \zeta e^{-(\mu_j^2 + \beta_m^2) \tau} \quad \dots \dots \dots (19)\end{aligned}$$

$$\begin{aligned}\sigma_{rz} = & \sum_{n=1}^{\infty} [A_n' I_1(k_n \rho) + B_n' \{2(1-\nu) I_1(k_n \rho) + k_n \rho I_0(k_n \rho)\} - A_n'' K_1(k_n \rho) + B_n'' \{2(1-\nu) K_1(k_n \rho) \\ & - k_n \rho K_0(k_n \rho)\}] \sin k_n \zeta + \sum_{s=1}^{\infty} C_s(\lambda_s \rho) \{C_s' \sinh \lambda_s \zeta + D_s' (2\nu \sinh \lambda_s \zeta + \lambda_s \zeta \cosh \lambda_s \zeta)\} \\ & + \sum_{j=1}^{\infty} [E_j' I_1(\mu_j \rho) + F_j' \{2(1-\nu) I_1(\mu_j \rho) + \mu_j \rho I_0(\mu_j \rho)\} - E_j'' K_1(\mu_j \rho) + F_j'' \{2(1-\nu) K_1(\mu_j \rho) \\ & - \mu_j \rho K_0(\mu_j \rho)\}] \sin \mu_j \zeta - 2GK \sum_{j=1}^{\infty} \sum_{m=1}^{\infty} \frac{A_{jm} \mu_j \beta_m}{\mu_j^2 + \beta_m^2} u_1(\beta_m \rho) \sin \mu_j \zeta e^{-(\mu_j^2 + \beta_m^2) \tau} \quad \dots \dots \dots (20)\end{aligned}$$

ここで、 $A_0$ ,  $B_0$ ,  $C_0$ ,  $A_n'$ ,  $B_n'$ ,  $A_n''$ ,  $B_n''$ ,  $C_s'$ ,  $D_s'$ ,  $E_j'$ ,  $F_j'$ ,  $E_j''$ ,  $F_j''$  は、境界条件から決定される未知係数である。

境界条件は外力の作用のない場合

$$\rho = 1 \text{ で } \sigma_{rr} = 0 \quad \dots \dots \dots (21)$$

$$\rho = \rho_1 \text{ で } \sigma_{rr} = 0 \quad \dots \dots \dots (22)$$

$$\rho = 1 \text{ で } \sigma_{rz} = 0 \quad \dots \dots \dots (23)$$

$$\rho = \rho_1 \text{ で } \sigma_{rz} = 0 \quad \dots \dots \dots (24)$$

$$\zeta = \pm \zeta_1 \text{ で } \sigma_{rz} = 0 \quad \dots \dots \dots (25)$$

$$\zeta = \pm \zeta_1 \text{ で } \sigma_{zz} = 0 \quad \dots \dots \dots (26)$$

で与えられる。

境界条件から各未知係数を決定する。式(23)と(24)から、 $\sin k_n \zeta$  と  $\sin \mu_j \zeta$  の各係数を零に等置すると次式が得られる。

$$A_n' I_1(k_n) + B_n' \{2(1-\nu) I_1(k_n) + k_n I_0(k_n)\} - A_n'' K_1(k_n) + B_n'' \{2(1-\nu) K_1(k_n) - k_n K_0(k_n)\} = 0 \quad \dots \dots \dots (27)$$

$$\begin{aligned}E_j' I_1(\mu_j) + F_j' \{2(1-\nu) I_1(\mu_j) + \mu_j I_0(\mu_j)\} - E_j'' K_1(\mu_j) + F_j'' \{2(1-\nu) K_1(\mu_j) \\ - \mu_j K_0(\mu_j)\} = 2GK \sum_{m=1}^{\infty} \frac{A_{jm} \mu_j \beta_m}{\mu_j^2 + \beta_m^2} u_1(\beta_m \rho) e^{-(\mu_j^2 + \beta_m^2) \tau} \quad \dots \dots \dots (28)\end{aligned}$$

$$\begin{aligned}A_n' I_1(k_n \rho_1) + B_n' \{2(1-\nu) I_1(k_n \rho_1) + k_n \rho_1 I_0(k_n \rho_1)\} - A_n'' K_1(k_n \rho_1) \\ + B_n'' \{2(1-\nu) K_1(k_n \rho_1) - k_n \rho_1 K_0(k_n \rho_1)\} = 0 \quad \dots \dots \dots (29)\end{aligned}$$

$$\begin{aligned}E_j' I_1(\mu_j \rho_1) + F_j' \{2(1-\nu) I_1(\mu_j \rho_1) + \mu_j \rho_1 I_0(\mu_j \rho_1)\} - E_j'' K_1(\mu_j \rho_1) + F_j'' \{2(1-\nu) K_1(\mu_j \rho_1) \\ - \mu_j \rho_1 K_0(\mu_j \rho_1)\} = 2GK \sum_{m=1}^{\infty} \frac{A_{jm} \mu_j \beta_m}{\mu_j^2 + \beta_m^2} u_1(\beta_m \rho_1) e^{-(\mu_j^2 + \beta_m^2) \tau} \quad \dots \dots \dots (30)\end{aligned}$$

式(21)と式(22)より、 $\cosh \lambda_s \zeta$ ,  $\lambda_s \zeta \sinh \lambda_s \zeta$  を領域  $-\zeta_1 \leq \zeta \leq \zeta_1$  において  $\cos k_n \zeta$  に関するフーリエ級数に展開したのち、 $\cos \mu_j \zeta$  と  $\cos k_n \zeta$  の各係数を零と置くことにより次式を得る。

$$A_0\nu+B_0+(2\nu-1)C_0+\sum_{s=1}^{\infty}C_0(\lambda_s)\left[C_s'\frac{\sinh\lambda_s\zeta_1}{\lambda_s\zeta_1}+D_s'\left(\cosh\lambda_s\zeta_1+2\nu\frac{\sinh\lambda_s\zeta_1}{\lambda_s\zeta_1}\right)\right]=0 \quad \dots\dots\dots(31)$$

$$\begin{aligned} E_j'\left\{-I_0(\mu_j)+\frac{I_1(\mu_j)}{\mu_j}\right\}-F_j'\{(1-2\nu)I_0(\mu_j)+\mu_jI_1(\mu_j)\}-E_j''\left\{K_0(\mu_j)+\frac{K_1(\mu_j)}{\mu_j}\right\} \\ +F_j''\{(1-2\nu)K_0(\mu_j)-\mu_jK_1(\mu_j)\}=2GK\sum_{m=1}^{\infty}\frac{A_{jm}}{\mu_j^2+\beta_m^2}\{\mu_j^2u_0(\beta_m)+\beta_mu_1(\beta_m)\}e^{-(\mu_j^2+\beta_m^2)\tau} \end{aligned} \quad \dots\dots\dots(32)$$

$$\begin{aligned} A_n'\left\{-I_0(k_n)+\frac{I_1(k_n)}{k_n}\right\}-B_n'\{(1-2\nu)I_0(k_n)+k_nI_1(k_n)\}-A_n''\left\{K_0(k_n)+\frac{K_1(k_n)}{k_n}\right\}+B_n'' \\ \times\{(1-2\nu)K_0(k_n)-k_nK_1(k_n)\}+\sum_{s=1}^{\infty}C_0(\lambda_s)\left[C_s'\frac{2\lambda_s(-1)^n\sinh\lambda_s\zeta_1}{\zeta_1(\lambda_s^2+k_n^2)}\right. \\ \left.+D_s'\left\{\frac{2\lambda_s(-1)^n(2\nu\sinh\lambda_s\zeta_1+\lambda_s\zeta_1\cosh\lambda_s\zeta_1)}{\zeta_1(\lambda_s^2+k_n^2)}+\frac{4\lambda_sk_n^2(-1)^n\sinh\lambda_s\zeta_1}{\zeta_1(\lambda_s^2+k_n^2)^2}\right\}\right]=0 \end{aligned} \quad \dots\dots\dots(33)$$

$$A_0\nu+\frac{B_0}{\rho_1^2}+(2\nu-1)C_0+\sum_{s=1}^{\infty}C_0(\lambda_s\rho_1)\left[C_s'\frac{\sinh\lambda_s\zeta_1}{\lambda_s\zeta_1}+D_s'\left(\cosh\lambda_s\zeta_1+2\nu\frac{\sinh\lambda_s\zeta_1}{\lambda_s\zeta_1}\right)\right]=0 \quad \dots\dots\dots(34)$$

$$\begin{aligned} E_j'\left\{-I_0(\mu_j\rho_1)+\frac{I_1(\mu_j\rho_1)}{\mu_j\rho_1}\right\}-F_j'\{(1-2\nu)I_0(\mu_j\rho_1)+\mu_j\rho_1I_1(\mu_j\rho_1)\} \\ -E_j''\left\{K_0(\mu_j\rho_1)+\frac{K_1(\mu_j\rho_1)}{\mu_j\rho_1}\right\}+F_j''\{(1-2\nu)K_0(\mu_j\rho_1)-\mu_j\rho_1K_1(\mu_j\rho_1)\} \\ =2GK\sum_{m=1}^{\infty}\frac{A_{jm}}{\mu_j^2+\beta_m^2}\left\{\mu_j^2u_0(\beta_m\rho_1)+\frac{\beta_mu_1(\beta_m\rho_1)}{\rho_1}\right\}e^{-(\mu_j^2+\beta_m^2)\tau} \end{aligned} \quad \dots\dots\dots(35)$$

$$\begin{aligned} A_n'\left\{-I_0(k_n\rho_1)+\frac{I_1(k_n\rho_1)}{k_n\rho_1}\right\}-B_n'\{(1-2\nu)I_0(k_n\rho_1)+k_n\rho_1I_1(k_n\rho_1)\}-A_n''\left\{K_0(k_n\rho_1)+\frac{K_1(k_n\rho_1)}{k_n(\rho_1)}\right\} \\ +B_n''\{(1-2\nu)K_0(k_n\rho_1)-k_n\rho_1K_1(k_n\rho_1)\}+\sum_{s=1}^{\infty}C_0(\lambda_s\rho_1)\left[C_s'\frac{2\lambda_s(-1)^n\sinh\lambda_s\zeta_1}{\zeta_1(\lambda_s^2+k_n^2)}\right. \\ \left.+D_s'\left\{\frac{2\lambda_s(-1)^n(2\nu\sinh\lambda_s\zeta_1+\lambda_s\zeta_1\cosh\lambda_s\zeta_1)}{\zeta_1(\lambda_s^2+k_n^2)}+\frac{4\lambda_sk_n^2(-1)^n\sinh\lambda_s\zeta_1}{\zeta_1(\lambda_s^2+k_n^2)^2}\right\}\right]=0 \end{aligned} \quad \dots\dots\dots(36)$$

式(28), (30), (32)と式(35)より、連立方程式を解くことにより各係数  $E_j'$ ,  $F_j'$ ,  $E_j''$  と  $F_j''$  は決定される。式(26)より、関数  $u_0(\beta_m\rho)$ ,  $I_0(k_n\rho)$ ,  $k_n\rho I_1(k_n\rho)$ ,  $K_0(k_n\rho)$ ,  $k_n\rho K_1(k_n\rho)$ ,  $I_0(\mu_j\rho)$ ,  $\mu_j\rho I_1(\mu_j\rho)$ ,  $K_0(\mu_j\rho)$  と  $\mu_j\rho K_1(\mu_j\rho)$  を領域  $1 \leq \rho \leq \rho_1$ において、 $C_0(\lambda_s\rho)$  に関するベッセル級数に展開し、 $C_0(\lambda_s\rho)$  の係数を零と置くと次式が得られる。

$$\begin{aligned} (1-\nu)A_0+2(2-\nu)C_0+\sum_{n=1}^{\infty}(-1)^n[A_n'a_{0n}+B_n'(2(2-\nu)a_{0n}+b_{0n})+A_n''c_{0n} \\ -B_n''(2(2-\nu)c_{0n}-d_{0n})]+\sum_{j=1}^{\infty}[E_j'l_{0j}+F_j'(2(2-\nu)l_{0j}+p_{0j})+E_j''q_{0j}-F_j''(2(2-\nu)q_{0j} \\ -r_{0j})]\cos\mu_j\zeta_1=2GK\sum_{j=1}^{\infty}\sum_{m=1}^{\infty}\frac{A_{jm}\beta_m^2}{\mu_j^2+\beta_m^2}g_{0m}\cos\mu_j\zeta_1e^{-(\mu_j^2+\beta_m^2)\tau} \end{aligned} \quad \dots\dots\dots(37)$$

$$\begin{aligned} -C_s'\cosh\lambda_s\zeta_1+D_s'\{(1-2\nu)\cosh\lambda_s\zeta_1-\lambda_s\zeta_1\sinh\lambda_s\zeta_1\}+\sum_{n=1}^{\infty}(-1)^n[A_n'a_{sn}+B_n'(2(2-\nu)a_{sn}+b_{sn}) \\ +A_n''c_{sn}-B_n''(2(2-\nu)c_{sn}-d_{sn})]+\sum_{j=1}^{\infty}\cos\mu_j\zeta_1[E_j'l_{sj}+F_j'(2(2-\nu)l_{sj}+p_{sj})+E_j''q_{sj} \\ -F_j''(2(2-\nu)q_{sj}-r_{sj})]=2GK\sum_{j=1}^{\infty}\sum_{m=1}^{\infty}\frac{A_{jm}\beta_m^2}{\mu_j^2+\beta_m^2}g_{sm}\cos\mu_j\zeta_1e^{-(\mu_j^2+\beta_m^2)\tau} \end{aligned} \quad \dots\dots\dots(38)$$

ここで、 $g_{0m}$  と  $g_{sm}$ ,  $a_{0n}$  と  $a_{sn}$ ,  $b_{0n}$  と  $b_{sn}$ ,  $c_{0n}$  と  $c_{sn}$ ,  $d_{0n}$  と  $d_{sn}$ ,  $l_{0j}$  と  $l_{sj}$ ,  $p_{0j}$  と  $p_{sj}$ ,  $q_{0j}$  と  $q_{sj}$ ,  $r_{0j}$  と  $r_{sj}$  は、それぞれ関数  $u_0(\beta_m\rho)$ ,  $I_0(k_n\rho)$ ,  $k_n\rho I_1(k_n\rho)$ ,  $K_0(k_n\rho)$ ,  $k_n\rho K_1(k_n\rho)$ ,  $I_0(\mu_j\rho)$ ,  $\mu_j\rho I_1(\mu_j\rho)$ ,  $K_0(\mu_j\rho)$ ,  $\mu_j\rho K_1(\mu_j\rho)$  を領域  $1 \leq \rho \leq \rho_1$ において、 $C_0(\lambda_s\rho)$  に関するベッセル級数に展開したときの係数で次式で与えられる。

$$\begin{aligned} g_{0m}&=\frac{2\{\beta_m\rho_1u_1(\beta_m\rho_1)-\beta_mu_1(\beta_m)\}}{(\beta_m\rho_1)^2-\beta_m^2}, \\ g_{sm}&=\frac{2\{\beta_m\rho_1C_0(\lambda_s\rho_1)u_1(\beta_m\rho_1)-\beta_mC_0(\lambda_s)u_1(\beta_m)\}}{(\beta_m^2-\lambda_s^2)(\rho_1^2C_0^2(\lambda_s\rho_1)-C_0^2(\lambda_s))}, \\ a_{0n}&=\frac{2\{k_n\rho_1I_1(k_n\rho_1)-k_nI_1(k_n)\}}{(k_n\rho_1)^2-k_n^2}, \\ a_{sn}&=\frac{2\{k_n\rho_1C_0(\lambda_s\rho_1)I_1(k_n\rho_1)-k_nC_0(\lambda_s)I_1(k_n)\}}{(k_n^2+\lambda_s^2)(\rho_1^2C_0^2(\lambda_s\rho_1)-C_0^2(\lambda_s))}, \end{aligned}$$

$$\begin{aligned}
b_{0n} &= \frac{2\{k_n\rho_1^2 I_0(k_n\rho_1) - 2\rho_1 I_1(k_n\rho_1) - k_n I_0(k_n) + 2I_1(k_n)\}}{k_n(\rho_1^2 - 1)}, \\
b_{sn} &= \frac{2}{(k_n^2 + \lambda_s^2)\{\rho_1^2 C_0^2(\lambda_s\rho_1) - C_0^2(\lambda_s)\}} \left[ (k_n\rho_1)^2 I_0(k_n\rho_1) C_0(\lambda_s\rho_1) - k_n^2 I_0(k_n) C_0(\lambda_s) \right. \\
&\quad \left. - \frac{2k_n^2}{k_n^2 + \lambda_s^2} \{k_n\rho_1 C_0(\lambda_s\rho_1) I_1(k_n\rho_1) - k_n C_0(\lambda_s) I_1(k_n)\} \right], \\
c_{0n} &= \frac{2(-\rho_1 K_1(k_n\rho_1) + K_1(k_n))}{k_n(\rho_1^2 - 1)}, \quad c_{sn} = \frac{2k_n\{-\rho_1 C_0(\lambda_s\rho_1) K_1(k_n\rho_1) + C_0(\lambda_s) K_1(k_n)\}}{(k_n^2 + \lambda_s^2)\{\rho_1^2 C_0^2(\lambda_s\rho_1) - C_0^2(\lambda_s)\}}, \\
d_{0n} &= \frac{2}{k_n(\rho_1^2 - 1)} \{-k_n\rho_1^2 K_0(k_n\rho_1) - 2\rho_1 K_1(k_n\rho_1) + k_n K_0(k_n) + 2K_1(k_n)\}, \\
d_{sn} &= \frac{2k_n^2}{(k_n^2 + \lambda_s^2)\{\rho_1^2 C_0^2(\lambda_s\rho_1) - C_0^2(\lambda_s)\}} \left[ -\rho_1^2 K_0(k_n\rho_1) C_0(\lambda_s\rho_1) + K_0(k_n) C_0(\lambda_s) \right. \\
&\quad \left. + \frac{2k_n}{k_n^2 + \lambda_s^2} \{-\rho_1 C_0(\lambda_s\rho_1) K_1(k_n\rho_1) + C_0(\lambda_s) K_1(k_n)\} \right], \\
l_{0j} &= \frac{2\{\rho_1 I_1(\mu_j\rho_1) - I_1(\mu_j)\}}{\mu_j(\rho_1^2 - 1)}, \quad l_{sj} = \frac{2\mu_j\{\rho_1 C_0(\lambda_s\rho_1) I_1(\mu_j\rho_1) - C_0(\lambda_s) I_1(\mu_j)\}}{(\mu_j^2 + \lambda_s^2)\{\rho_1^2 C_0^2(\lambda_s\rho_1) - C_0^2(\lambda_s)\}}, \\
p_{0j} &= \frac{2}{\mu_j(\rho_1^2 - 1)} \{\mu_j\rho_1^2 I_0(\mu_j\rho_1) - 2\rho_1 I_1(\mu_j\rho_1) - \mu_j I_0(\mu_j) + 2I_1(\mu_j)\}, \\
p_{sj} &= \frac{2\mu_j^2}{(\mu_j^2 + \lambda_s^2)\{\rho_1^2 C_0^2(\lambda_s\rho_1) - C_0^2(\lambda_s)\}} \left[ \rho_1^2 I_0(\mu_j\rho_1) C_0(\lambda_s\rho_1) - I_0(\mu_j) C_0(\lambda_s) \right. \\
&\quad \left. - \frac{2\mu_j}{\mu_j^2 + \lambda_s^2} \{\rho_1 C_0(\lambda_s\rho_1) I_1(\mu_j\rho_1) - C_0(\lambda_s) I_1(\mu_j)\} \right], \\
q_{0j} &= \frac{2\{-\rho_1 K_1(\mu_j\rho_1) + K_1(\mu_j)\}}{\mu_j(\rho_1^2 - 1)}, \quad q_{sj} = \frac{2\mu_j\{-\rho_1 C_0(\lambda_s\rho_1) K_1(\mu_j\rho_1) + C_0(\lambda_s) K_1(\mu_j)\}}{(\mu_j^2 + \lambda_s^2)\{\rho_1^2 C_0^2(\lambda_s\rho_1) - C_0^2(\lambda_s)\}}, \\
r_{0j} &= \frac{2}{\mu_j(\rho_1^2 - 1)} \{-\mu_j\rho_1^2 K_0(\mu_j\rho_1) - 2\rho_1 K_1(\mu_j\rho_1) + \mu_j K_0(\mu_j) + 2K_1(\mu_j)\}, \\
r_{sj} &= \frac{2\mu_j^2}{(\mu_j^2 + \lambda_s^2)\{\rho_1^2 C_0^2(\lambda_s\rho_1) - C_0^2(\lambda_s)\}} \left[ -\rho_1^2 K_0(\mu_j\rho_1) C_0(\lambda_s\rho_1) + K_0(\mu_j) C_0(\lambda_s) \right. \\
&\quad \left. + \frac{2\mu_j}{\mu_j^2 + \lambda_s^2} \{-\rho_1 C_0(\lambda_s\rho_1) K_1(\mu_j\rho_1) + C_0(\lambda_s) K_1(\mu_j)\} \right] \quad \dots \dots \dots \quad (39)
\end{aligned}$$

式(25)より、関数  $u_1(\beta_m\rho)$ ,  $I_1(\mu_j\rho)$ ,  $\mu_j\rho I_0(\mu_j\rho)$ ,  $K_1(\mu_j\rho)$ ,  $\mu_j\rho K_0(\mu_j\rho)$  を領域  $1 < \rho < \rho_1$ において、 $C_1(\lambda_s\rho)$  に関するベッセル級数に展開し、 $C_1(\lambda_s\rho)$  の各係数を零と置くと次式を得る。

$$\begin{aligned}
C'_s \sinh \lambda_s \zeta_1 + D'_s (2\nu \sinh \lambda_s \zeta_1 + \lambda_s \zeta_1 \cosh \lambda_s \zeta_1) - \sum_{j=1}^{\infty} \frac{\lambda_s \sin \mu_j \zeta_1}{\mu_j} [E'_j l_{sj} + F'_j \{2(1-\nu)l_{sj} + p_{sj}\} \\
+ E'_j q_{sj} - F'_j \{2(1-\nu)q_{sj} - r_{sj}\}] = 2GK \sum_{j=1}^{\infty} \sum_{m=1}^{\infty} \frac{A_{jm} \mu_j \lambda_s}{(\mu_j^2 + \lambda_s^2) g_{sm}} \sin \mu_j \zeta_1 e^{-(\mu_j^2 + \beta_m^2)\tau} \quad \dots \dots \dots \quad (40)
\end{aligned}$$

式(27), (29) と式(39)を考慮すると、式(37)は

$$A_0(1-\nu) + 2C_0(2-\nu) = 0 \quad \dots \dots \dots \quad (41)$$

となる。式(31), (34), (40) と式(41)より、 $A_0$ ,  $B_0$ ,  $C_0$  が次式のように求められる。

$$\begin{aligned}
B_0 &= \frac{\rho_1^2}{\rho_1^2 - 1} \sum_{s=1}^{\infty} \{C_0(\lambda_s\rho_1) - C_0(\lambda_s)\} \left[ \sum_{j=1}^{\infty} \frac{\sin \mu_j \zeta_1}{\mu_j \zeta_1} [E'_j l_{sj} + F'_j \{2(1-\nu)l_{sj} + p_{sj}\} + E'_j q_{sj} \right. \\
&\quad \left. - F'_j \{2(1-\nu)q_{sj} - r_{sj}\}] + 2GK \sum_{j=1}^{\infty} \sum_{m=1}^{\infty} \frac{A_{jm} \mu_j}{(\mu_j^2 + \beta_m^2) \zeta_1} g_{sm} \sin \mu_j \zeta_1 e^{-(\mu_j^2 + \beta_m^2)\tau} \right] \quad \dots \dots \dots \quad (42)
\end{aligned}$$

$$\begin{aligned}
C_0 &= \frac{1-\nu}{1+\nu} \frac{1}{\rho_1^2 - 1} \sum_{s=1}^{\infty} \{\rho_1^2 C_0(\lambda_s\rho_1) - C_0(\lambda_s)\} \left[ \sum_{j=1}^{\infty} \frac{\sin \mu_j \zeta_1}{\mu_j \zeta_1} [E'_j l_{sj} + F'_j \{2(1-\nu)l_{sj} + p_{sj}\} \right. \\
&\quad \left. + E'_j q_{sj} - F'_j \{2(1-\nu)q_{sj} - r_{sj}\}] + 2GK \sum_{j=1}^{\infty} \sum_{m=1}^{\infty} \frac{A_{jm} \mu_j}{(\mu_j^2 + \beta_m^2) \zeta_1} g_{sm} \sin \mu_j \zeta_1 e^{-(\mu_j^2 + \beta_m^2)\tau} \right] \quad \dots \dots \dots \quad (43)
\end{aligned}$$

$$A_0 = -\frac{2(2-\nu)}{1-\nu} C_0 \quad \dots \dots \dots \quad (44)$$

式(27), (29), (33), (36), (38) と式(40)を用いて変形すると次式を得る。

$$B_n' \left[ -2(1-\nu) \frac{I_1(k_n)}{k_n} - k_n I_1(k_n) - \frac{[\rho_1 I_0(k_n \rho_1) - k_n I_0(k_n) \{I_0(k_n) K_1(k_n \rho_1) + I_1(k_n \rho_1) K_0(k_n)\}]}{K_1(k_n \rho_1) I_1(k_n) - K_1(k_n) I_1(k_n \rho_1)} \right] \\ + B_n'' \left[ -2(1-\nu) \frac{K_1(k_n)}{k_n} - k_n K_1(k_n) + \frac{[\rho_1 K_0(k_n \rho_1) - k_n K_0(k_n) \{I_0(k_n) K_1(k_n \rho_1) + I_1(k_n \rho_1) K_0(k_n)\}]}{K_1(k_n \rho_1) I_1(k_n) - K_1(k_n) I_1(k_n \rho_1)} \right] \\ + \sum_{s=1}^{\infty} D_s' \frac{4\lambda_s k_n^2 (-1)^n \sinh \lambda_s \zeta_1}{\zeta_1 (\lambda_s^2 + k_n^2)^2} C_0(\lambda_s) = - \sum_{j=1}^{\infty} \sum_{s=1}^{\infty} \frac{2\lambda_s^2 (-1)^n \sin \mu_j \zeta_1}{\mu_j \zeta_1 (\lambda_s^2 + k_n^2)} C_0(\lambda_s) \\ \times [E_j' l_{sj} + F_j' \{2(1-\nu) l_{sj} + p_{sj}\} + E_j'' q_{sj} - F_j'' \{2(1-\nu) q_{sj} - r_{sj}\}] \\ - 2GK \sum_{j=1}^{\infty} \sum_{m=1}^{\infty} \sum_{s=1}^{\infty} \frac{2A_{jm} \lambda_s^2 \mu_j (-1)^n \sin \mu_j \zeta_1}{\zeta_1 (\mu_j^2 + \beta_m^2) (\lambda_s^2 + k_n^2)} g_{sm} C_0(\lambda_s \rho) e^{-(\mu_j^2 + \beta_m^2) \tau} \quad (45)$$

$$B_n' \left[ -\frac{2(1-\nu) + k_n^2 \rho_1^2}{k_n \rho_1} I_1(k_n \rho_1) + \frac{[\rho_1^{-1} I_0(k_n) - k_n \rho_1 I_0(k_n \rho_1) \{I_0(k_n \rho_1) K_1(k_n) + I_1(k_n) K_0(k_n \rho_1)\}]}{K_1(k_n \rho_1) I_1(k_n) - K_1(k_n) I_1(k_n \rho_1)} \right] \\ + B_n'' \left[ -\frac{2(1-\nu) + k_n^2 \rho_1^2}{k_n \rho_1} K_1(k_n \rho_1) - \frac{[\rho_1^{-1} K_0(k_n) - k_n \rho_1 K_0(k_n \rho_1) \{I_0(k_n \rho_1) K_1(k_n) + I_1(k_n) K_0(k_n \rho_1)\}]}{K_1(k_n \rho_1) I_1(k_n) - K_1(k_n) I_1(k_n \rho_1)} \right] \\ + \sum_{s=1}^{\infty} D_s' \frac{4\lambda_s k_n^2 (-1)^n \sinh \lambda_s \zeta_1}{\zeta_1 (\lambda_s^2 + k_n^2)^2} C_0(\lambda_s \rho_1) = - \sum_{j=1}^{\infty} \sum_{s=1}^{\infty} \frac{2\lambda_s^2 (-1)^n \sin \mu_j \zeta_1}{\mu_j \zeta_1 (\lambda_s^2 + k_n^2)} C_0(\lambda_s \rho_1) \\ \times [E_j'^* l_{sj} + F_j'^* \{2(1-\nu) l_{sj} + p_{sj}\} + E_j'' q_{sj} - F_j'' \{2(1-\nu) q_{sj} - r_{sj}\}] \\ - 2GK \sum_{j=1}^{\infty} \sum_{m=1}^{\infty} \sum_{s=1}^{\infty} \frac{2A_{jm} \lambda_s^2 \mu_j (-1)^n \sin \mu_j \zeta_1}{\zeta_1 (\mu_j^2 + \beta_m^2) (\lambda_s^2 + k_n^2)} g_{sm} C_0(\lambda_s \rho_1) e^{-(\mu_j^2 + \beta_m^2) \tau} \quad (46)$$

$$D_s' \left( \cosh \lambda_s \zeta_1 + \frac{\lambda_s \zeta_1}{\sinh \lambda_s \zeta_1} \right) + \sum_{n=1}^{\infty} \left[ \frac{4\lambda_s^2 (-1)^n}{(\lambda_s^2 + k_n^2)^2 (\rho_1^2 C_0^2(\lambda_s \rho_1) - C_0^2(\lambda_s))} [B_n' \{k_n \rho_1 C_0(\lambda_s \rho_1) I_1(k_n \rho_1) \right. \\ \left. - k_n C_0(\lambda_s) I_1(k_n)\} + B_n'' \{k_n \rho_1 C_0(\lambda_s \rho_1) K_1(k_n \rho_1) - k_n C_0(\lambda_s) K_1(k_n)\}] \right] \\ = 2GK \sum_{j=1}^{\infty} \sum_{m=1}^{\infty} \frac{A_{jm}}{\mu_j^2 + \beta_m^2} g_{sm} \left\{ \frac{\cosh \lambda_s \zeta_1}{\sinh \lambda_s \zeta_1} \mu_j \lambda_s \sin \mu_j \zeta_1 + \beta_m^2 \cos \mu_j \zeta_1 \right\} e^{-(\mu_j^2 + \beta_m^2) \tau} \\ + \sum_{j=1}^{\infty} \left\{ \frac{\lambda_s \cosh \lambda_s \zeta_1}{\mu_j \sinh \lambda_s \zeta_1} \sin \mu_j \zeta_1 - \cos \mu_j \zeta_1 \right\} [E_j'^* l_{sj} + F_j'^* \{2(1-\nu) l_{sj} + p_{sj}\} + E_j'' q_{sj} \\ - F_j'' \{2(1-\nu) q_{sj} - r_{sj}\}] - \sum_{j=1}^{\infty} 2 \cos \mu_j \zeta_1 (F_j' l_{sj} - F_j'' q_{sj}) \quad (47)$$

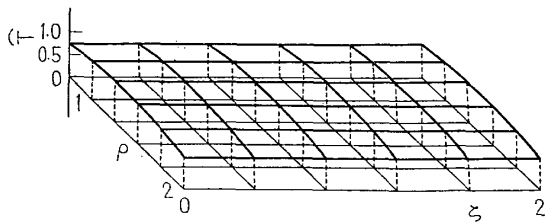
式(45)～(47)の無限級数を有限項で近似し、連立方程式を解くことにより、 $B_n'$ ,  $B_n''$ ,  $D_s'$ が求まる。それを式(33), (36), (40)に代入することにより、 $A_n'$ ,  $A_n''$ ,  $C_s'$ が求まる。よってすべての未知係数が決定されたから、これらを式(17)～(20)に代入することにより各応力成分が求まる。

#### 4. 数値計算結果および考察

数値計算にあたって、温度、各応力成分をつぎのように無次元化した。

$$\widehat{T} = \frac{T}{T_0}, \quad \widehat{\rho} \rho = \frac{\sigma_{rr}}{2GK}, \quad \widehat{\theta} \theta = \frac{\sigma_{\theta\theta}}{2GK}$$

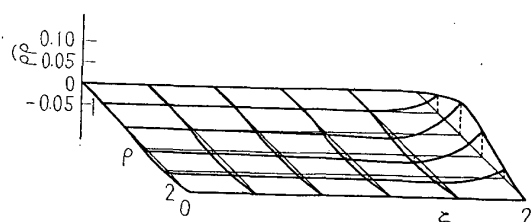
$$\widehat{\zeta} \zeta = \frac{\sigma_{zz}}{2GK}$$



$\rho_1 = 2.0, \zeta_1 = 2.0, \gamma_1 = 1.0, \gamma_2 = 1.0, \gamma_3 = 0.001, \tau = 0.1$

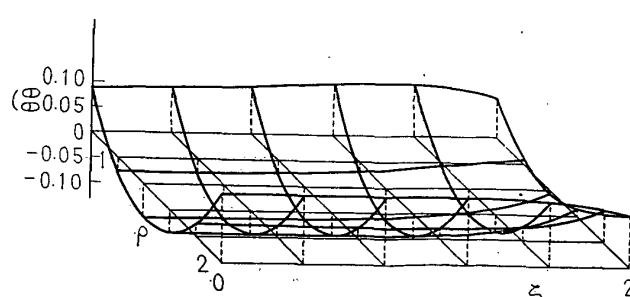
図2 温度分布

材料のポアソン比を  $\nu = 0.25$ 、内・外半径の比を  $\rho_1 = 2$ 、無次元相対熱伝達率をそれぞれ  $\gamma_1 = 1.0, \gamma_2 = 1.0, \gamma_3 = 0.001$  とし、円筒の内径  $2a$  と長さ  $2l$  の比を、



$\rho_1 = 2.0, \zeta_1 = 2.0, \gamma_1 = 1.0, \gamma_2 = 1.0, \gamma_3 = 0.001, \tau = 0.1$

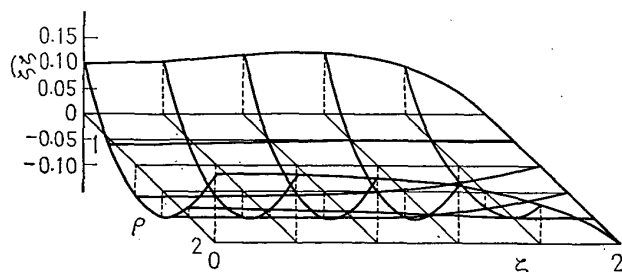
図3 半径応力分布



$\rho_1 = 2.0, \zeta_1 = 2.0, \gamma_1 = 1.0, \gamma_2 = 1.0, \gamma_3 = 0.001, \tau = 0.1$

図4 フープ応力分布

$\zeta_1=0.5, 1.0, 2.0, 5.0$  の場合について数値計算をおこなった。図2から7は  $\zeta_1=2$  の場合について図



$\rho_1=2.0, \zeta_1=2.0, r_1=1.0, r_2=1.0, r_3=0.001, \tau=0.1$

図 5 軸応力分布

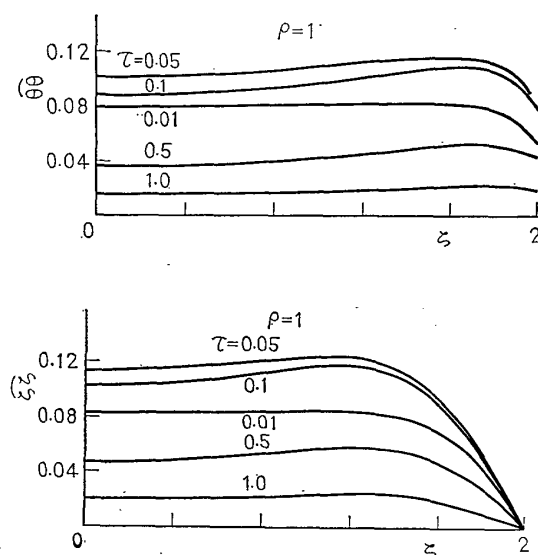


図 6 内側境界上のフープ応力と軸応力

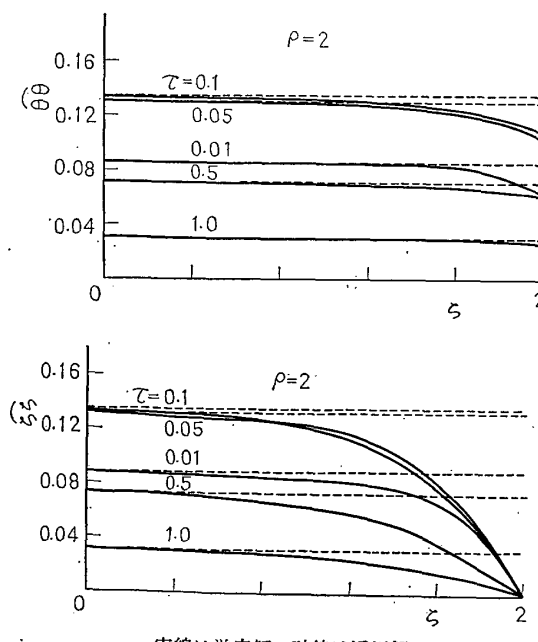


図 7 外側境界上のフープ応力と軸応力

示した。図2はフーリエ数  $\tau$  が0.1の場合の温度分布を示す。図3から5には  $\tau=0.1$  の場合の半径応力、フープ応力、軸応力を示す。各応力とも端面効果の影響により、端面近傍で応力がかく乱されているが、端面より内半径程度内側になると応力のかく乱は小さくなる。図6には内側境界上のフープ応力と軸応力を示す。内側境界上では、フープ応力も軸応力も端面近くで大きな応力が生じる。図7には外側境界上のフープ応力と軸応力を示す。図において実線は厳密解であり、破線は端面の境界条件を合力、合モーメントで満足させた、いわゆる St. Venant の原理を用いて解析した近似解である。すなわち、本研究の式(16)の未知係数のなかで  $A_0=B_0=C_0=A_n'=B_n'=A_n''=$

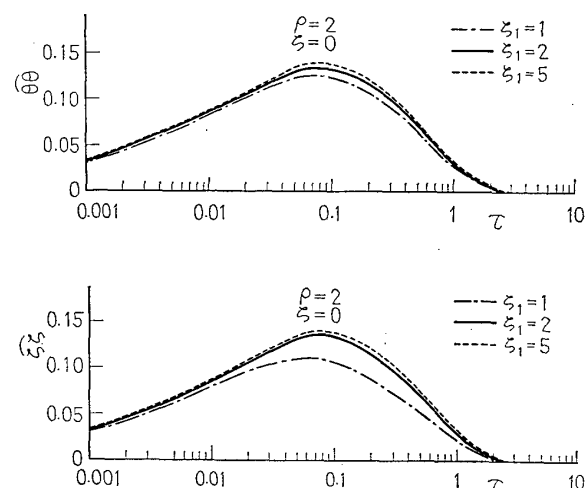


図 8 中央外表面上のフープ応力と軸応力の時間的変動

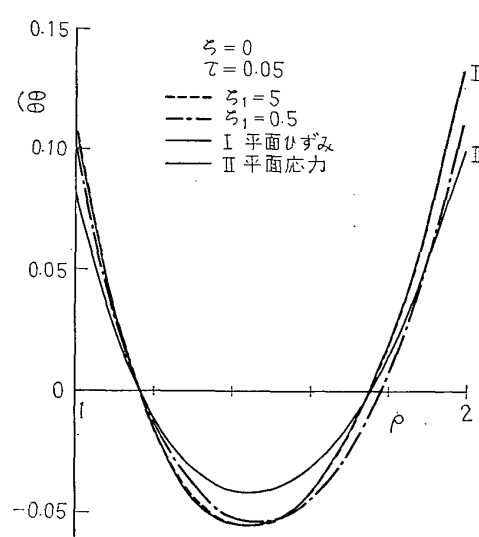


図 9 中央面のフープ応力と平面応力状態、平面ひずみ状態におけるフープ応力との比較

$B_n''=C_s'=D_s'=0$  とおき、境界条件式(21)～(24)を用いて残りの未知係数を決定することにより得られる解である。図6と7から、各応力とも中央の外側境界で応力がいちばん大きくなることがわかる。図7より、近似解はフープ応力に対して端面近傍まで厳密解と比較的良く一致しているが、軸応力に対しては端面近傍ではほとんど一致しない。図8には最大応力が生じる中央外表面上のフープ応力と、軸応力の時間的変化を  $\zeta_1=1, 2, 5$  の場合について示す。 $\zeta_1=1, 2, 5$  の場合とも最大応力は  $\tau=0.08$  近傍で生じる。 $\zeta_1=1$  の場合最大応力はフープ応力であるが、 $\zeta_1=2, 5$  の場合、軸応力とフープ応力はほとんど同じ大きさの応力を持つ。図9には中央面のフープ応力について、 $\zeta_1=0.5, 5.0$  の場合と平面ひずみ状態、平面応力状態と考えて解析した場合について示す。 $\zeta_1=5$  の場合の応力分布は、平面ひずみ状態と考えた場合と差異はなく、図面

上で一致する。 $\zeta_1=0.5$  と 5.0 の場合とも、平面応力状態と平面ひずみ状態のあいだに応力が分布している。図8と9から、内径と長さの比が大きくなるにしたがって応力は増加し、平面ひずみ状態の解に近づくことがわかる。

最後に、数値計算にあたっては名古屋大学・京都大学大型計算機センターを利用した。

## 文 献.

- (1) 例えば Youngdahl, C.K. and Sternberg, E., *Trans. ASME, Ser. E*, 28-1 (1961-3), 25; Sokolowski, M., *Arch. Mech. Stos.*, 10-6 (1958-6), 811.
- (2) 小泉, 機論, 30-218 (昭39-10), 1183.
- (3) Valentin, R.A. and Carey, J.J., *Nucl. Engng. & Des.*, 12-3 (1970), 277.
- (4) Goodier, J.N., *Phil. Mag.*, 23 (1937), 1017.
- (5) Love, A.E., *Treatise on the Mathematical Theory of Elasticity*, 4th ed., (1944), 274, Oxford Univ. Press.

## 討 論

[質問] 渥美光 (東北大学工学部)

- (1) 結果の信頼性につながる数値計算の精度についての説明がない。この点についてお尋ねしたい。
- (2) 数値例で  $\gamma_1=1.0, \gamma_3=0.001$  とおいている。これは円筒の端面が熱絶縁に近い場合を想定したものと思うが、ほかに特に理由などがあれば伺いたい。

[回答] (1) 数値計算において、無限級数を有限級数で近似して計算した。例えば  $\zeta_1=2$  の場合、 $m, n, s, j$  の和に対して上限を 20 とした。これは上限を 15 とした場合と比較して、有効数字の 3 けためが多少変化する程度である。上限を 20 とした結果、式(45)～(47) の未知数  $B_n', B_n'', D_s'$  の解の精度は  $10^{-18} \sim 10^{-32}$  のオーダであり、応力成分による精度は時間、位置により多少異なるが、境界上で零でなければならぬ半径応力、軸応力、せん断応力は最大応力に対し、それぞれ、約 2%, 2%, 0.0001% 程度である。よって、数値計算は信頼できるものと考えられる。

(2) 数値例で  $\gamma_1=\gamma_2=1.0, \gamma_3=0.001$  と選んだ特に大きな理由はないが、平面応力状態、平面ひずみ状態は端面が断熱であるため、それらと厳密解を比較するため、 $\gamma_3$  を小さな値に選んだ。 $\gamma_3=0$  としなかったのは、本解法では  $\gamma_3 \neq 0$  と仮定して式変形を進めており、 $\gamma_3=0$  とした場合は式が異なるため、断熱に近い状態ということで、 $\gamma_3$  を小さな値に選んだ。

[質問] 宮尾嘉寿・五島孝仁

(富山大学工学部)

- (1) 热的境界条件として、一様な温度場にある媒

質に対する熱放散を取扱っているが、実際には円筒の内側と外側で媒質の温度が異なったり、軸方向に媒質温度が一様でなかったりすることも多いと思われるが、そのような場合に対しての本解析の適用について考え方をご教示いただきたい。

(2) 本数値計算では、端面の無次元相対熱伝達率  $\gamma_3$  が内、外面の  $\gamma_1, \gamma_2$  に比べかなり小さい場合を取り上げて、端面効果の影響を検討されているようであるが、 $\gamma_3$  が大きくなれば端面効果の影響もかなり大きくなると考える。加えて図8に示される応力の時間的変動も、相対熱伝達率の大きさにより大きく左右されるものと思われるが、本問題のような場合ビオー数の変化による影響を検討する必要性はないのか。

[回答] (1) いずれの場合も同様な方法で解析することができる。例えば著者らは軸方向に温度変化のある場合の有限柱(付1)について、発表している。

(2) ご指摘のとおり、ビオー数の変化による影響を検討することも重要と考えるが、本研究は厳密解とサンプナシの原理を用いた近似解、平面応力状態、平面ひずみ状態とした場合との比較により重点をおいて、数値計算を実行した。

ご指摘のとおり、 $\gamma_3$  を大きくすれば端面の影響もかなり大きくなると思われるが、平面応力状態、平面ひずみ状態は端面が断熱の解であるので、それらと比較するため、 $\gamma_3$  を小さな値を用いた。

(付1) 野田・竹内、第25回応用力学連合講演会講演論文抄録集、(昭50-10), 407.